

九州大学 工学部 正員 山崎徳也
 " " " ○横田漢

1. 緒言

構造物と地盤の相互作用は土木構造物の動的解析において重要な問題があり、数多くの研究がある。これを大別すれば次の2様に分類されるかと思う。その1つはいわゆる複素剛性（地盤変形係数）を用いたものであり、この分野の研究として地盤の表面に構造物を想定した場合を対象としたものに Reissner¹⁾をはじめとして鳥海²⁾, Bycroft³⁾など多くあり、さらに近年は地盤中に構造物を想定した研究も見受けられる。

他の1つは、地盤が何らかの外乱を受ける場合の波動伝播機構そのものを主たる研究対象とするもので、外乱としては地震の他、近年問題視される超音速大型機による衝撃波などが考えられ、これらが地盤上あるいは地盤中の構造物にいかなる影響を与えるかについては重大な問題であろう。この種の研究は、Lamb⁴⁾が1904年に半無限弾性体の表面あるいは内部に集中荷重が作用すると主に生ずるうじょうれんを論じて以来、多くの人々の胸中を集め、今日もなお盛んに行われている。

以上の研究は“それも一層地盤を対象としたものが大部分であり、二層地盤あるいは道路舗装や微視化した地上構造物の下に板があるとみなされた場合の研究は余り見受けられない。そこで著者たちは地盤上に板がある場合を対象として、かかる系の波動伝播および複素剛性の解説を図り、まずその基礎研究として板に線荷重が周期的に作用する場合を取り上げ、地盤を半無限弾性体とみなして Lamb の解を拡張して板の波動伝播機構を解析したものである。

2. 解法

i) 基礎方程式 図-1に示すごとく板の中立面を $z=0$ とする直交座標 (x, y, z) を導入し、地盤の変位を u, v, w とする。ただし、変形は平面歪状態のみを考える。板の振動は次式にて表わされる。

$$\frac{\partial^2 \bar{w}_p}{\partial x^2} + \frac{\rho_i H}{N} \frac{\partial^2 \bar{w}_p}{\partial t^2} = \frac{p(x,t) - \bar{f}(x,t)}{N} \quad (1)$$

ここで \bar{w}_p : 板のたわみ, N : 板剛度

ρ_i : 板の密度, H : 板厚

$\bar{f}(x,t)$: 地盤反力

$$p(x,t) = P \delta(x) e^{i\omega t}$$

$\delta(x)$: Dirac's delta function

いま、線荷重 $p(x,t)$ にフーリエ変換を施せば次式を得る。

$$p(x,t) = P \delta(x) e^{i\omega t} = \frac{P e^{i\omega t}}{2\pi} \int_{-\infty}^{\infty} e^{-ikx} dk \quad (2)$$

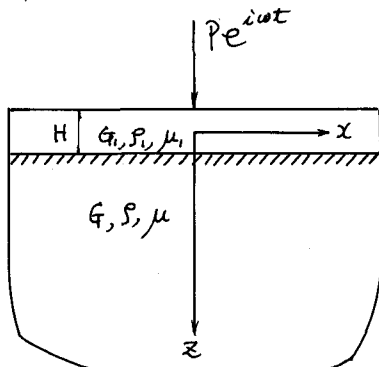


図-1

$\bar{w}_p = w_p e^{i\omega t}$, $\bar{f}(x,t) = f(x) e^{i\omega t}$ および $p(x,t) = \frac{P}{2\pi} e^{-ikx} e^{i\omega t}$ を代入すれば次式となる。

$$\frac{\partial^2 \bar{w}_p}{\partial t^2} - \frac{gH}{N} \omega^2 \bar{w}_p = \frac{1}{N} \left(\frac{P}{2\pi} e^{-ikx} - \bar{f}(x) \right) \quad (3)$$

式(3)を解き、右に因して $-\infty$ から ∞ まで積分を行えば所定の線荷重に対する解がえられることが分かる。

他方、地盤の変位 u , w をホドニシャル函数互換式、正を用いて次式のとく仮定する。

$$(u, w) = \left(\frac{\partial \bar{u}}{\partial x} - \frac{\partial \bar{v}}{\partial z}, \frac{\partial \bar{u}}{\partial z} + \frac{\partial \bar{v}}{\partial x} \right) \quad (4)$$

これがとく、地盤の波動は次式にて表わされる。

$$\nabla^2 \bar{u} = \frac{1}{d^2} \frac{\partial^2 \bar{u}}{\partial t^2} \quad \nabla^2 \bar{v} = \frac{1}{\beta^2} \frac{\partial^2 \bar{v}}{\partial t^2} \quad (5)$$

ここで $\nabla^2 = \partial^2/\partial x^2 + \partial^2/\partial z^2$, $d = \sqrt{(\lambda+2G)/S}$, $\beta = \sqrt{G/S}$, λ, G : Lamé の定数である。したがって

$$D_{xz} = G \left(2 \frac{\partial^2 \bar{u}}{\partial x \partial z} + \frac{\partial^2 \bar{v}}{\partial x^2} - \frac{\partial^2 \bar{v}}{\partial z^2} \right), \quad D_z = \lambda \nabla^2 \bar{u} + 2G \left(\frac{\partial^2 \bar{u}}{\partial z^2} + \frac{\partial^2 \bar{v}}{\partial x \partial z} \right) \quad (6-1, 2)$$

いま、 \bar{u} , \bar{v} を次式にて与えよう。

$$\bar{u} = A e^{-\gamma z - ikx + i\omega t}, \quad \bar{v} = B e^{-\gamma z - ikx + i\omega t}, \quad \bar{z} = z - H/2 \quad (7)$$

式(7)を式(5)に代入すれば $\gamma^2 = k^2 - k_d^2$, $\gamma'^2 = k^2 - k_p^2$, $k_d = \omega/d$, $k_p = \omega/\beta$ (8)

結局、式(8)が満足される限り、式(7)は式(5)の解となる。

なお、無限遠ではすくこの変位と応力は有限であり、かつ荷重の作用点から十分離れた處においてはじょうぶには外向主の波から成るとする。これが無限遠の条件より、 γ , γ' は正の実数かあるいは正の虚数を意味する。

i) 板のたわみ w_p 板と地盤との接触面 ($z = H/2$) における次のとく連続条件を書き出せ。すなはち $w = \bar{w}_p$, $D_z + \bar{f}(x,t) = 0$, $D_{xz} = 0$ (9-1, 2, 3)

$$\text{式(9-3)}, (6-1) \text{ より直ちに } B = \frac{\gamma \cdot k_p^2 e^{-ikx}}{2k^2 - k_p^2} A \quad (10)$$

$$\text{式(9-1), (4) および (10) より} \quad w_p = \frac{\gamma \cdot k_p^2 e^{-ikx}}{2k^2 - k_p^2} A \quad (11)$$

式(9-2), (6-2) および (10) より

$$-g(x) = \frac{G \cdot R(k)}{2k^2 - k_p^2} e^{-ikx} A \quad R(k) = (2k^2 - k_p^2)^2 - 4k^2 \gamma'^2 \quad (= \text{Rayleigh 函数}) \quad (12)$$

式(11), (12)を式(3)に代入し A を求めたうえで、 w_p を算出すれば系を局次式がえられる。

$$w_p = \frac{P}{2\pi N} \int_{-\infty}^{\infty} R(k) dk, \quad R(k) = \frac{\gamma \cdot k_p^2 e^{-ikx}}{\gamma \cdot k_p^2 \cdot k^2 - \frac{gH}{N} \omega^2 \gamma \cdot k_p^2 - \frac{G}{N} R(k)} \quad (13)$$

3. 裁値計算と α の考察

式(13)を高次元化すれば

$$W_p = \frac{PH^3}{2\pi N} \int_{-\infty}^{\infty} F(\eta) d\eta, \quad F(\eta) = \frac{\nu}{|K(\eta)|} e^{-ik_p x \eta} \quad (44)$$

$$\begin{aligned} \therefore K(\eta) &= \nu \cdot \varepsilon^3 \eta^4 - 6\nu(1-\mu_1) \frac{\bar{\eta}}{\eta} \varepsilon - \frac{6(1-\mu_1)}{\eta} R(\eta), \quad \nu = (\eta^2 - \gamma^2)^k \\ \eta' &= (\eta^2 - 1)^k, \quad R(\eta) = (2\eta^2 - 1)^2 - 4\eta^2 \nu \nu', \quad \eta = k_e/k_p, \quad \gamma = k_a/k_p \\ \eta &= G_i/G, \quad \bar{\eta} = \eta/\eta_1, \quad \varepsilon = H \cdot k_p = H \omega / \sqrt{G/H} \end{aligned}$$

i) 積分方法 積分の値に付して式(44)の積分を行なうに当り、 W_p は当然又軸に関して対称となるゆえ、 $\eta > 0$ なる範囲で考えれば十分である。

式(14)の複積分函数 $F(\eta)$ は後述のごとく極を有しており、これも直接積分するよりもあらはる数値積分を行うよりも極めて困難があり、ここでは η を複素変数 $\zeta = \eta + i\eta'$ と置きかえて複素積分を行うこととする。複素積分を用いて式(14)の積分を行なう際に注意となるのは、まず $F(\zeta)$ が今枝点 $(\pm i, 0), (\pm 1, 0)$ を持つおり、従って正則一価函数に直すために複素平面上にいがな γ cut (Branch line) を導入するかといふことである。次に無限遠の条件を満足するようになくとも多価函数 ν, ν' の今枝を逃さなければならぬことである。

このことは、これらを満たす積分方法として Ewing's 法を行なう手順を用いる。すなはち、まず今枝点 $(\pm i, 0), (\pm 1, 0)$ を複素数値 $\pm i\eta_1, \pm \eta_1$ に置きかえ、 $\text{Re } \eta = 0, \text{Re } \eta' = 0$ という cut を導入する。この状態で図-2に示すとおり積分路へ沿って Cauchy の定理を適用する。この際、 ν, ν' の今枝は今枝点の近傍において $\text{Re } \eta \geq 0, \text{Re } \eta' \geq 0$ を満足するようなるべくを述べ。しかるのち、 $\pm i\eta_1, \pm \eta_1$ を実軸上に戻す極限過程として式(14)の積分値をうる。

以上より

$$\oint F(\zeta) d\zeta = \int_M^N + \int_N^H + \int_H^L + \int_L^M + \int_M^N = 2\pi i \sum \text{Res}$$

$\therefore z=2, M, N \rightarrow \infty$ とすれば

$$\int_{-\infty}^{\infty} F(\eta) d\eta = -2\pi i \sum \text{Res} + \int_L^M F(\zeta) d\zeta + \int_M^L F(\zeta) d\zeta \quad (45)$$

結局、式(44)は積分路内にあらはる極に付ける留数の総和と cut に沿う積分 (Branch line integral) の和で与えられるこことになる。

ii) 留数 $F(\zeta)$ は図-2に示す積分路内において 3 つの極を有しており、いま $\mu_1 = u = \nu_4$, $q = 8, \bar{\eta} = 1, 4, 4$ の比較的固く重い極を対象として数値計算を行なう結果を表す。

これらの極に対する留数の結果の式を記せば次のとくである。

$$\text{Res}[F(\zeta); \zeta_1] = e^{-ik_p x} A_1(\zeta_1) e^{ik_p x}$$

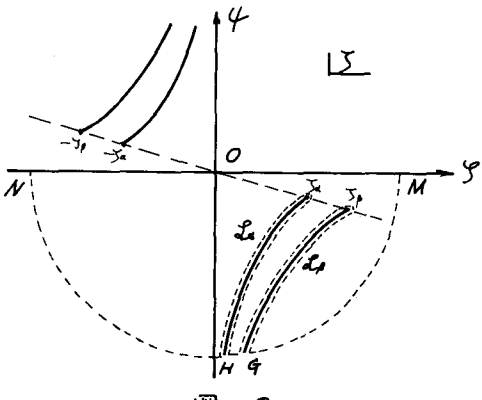


図-2

$$\text{Res}[\bar{H}(s); s_2] = e^{-k_2 x} (-\bar{A}_1(s_2)) e^{-ik_2 x} \quad (16)$$

$$\text{Res}[\bar{H}(s); s_3] = B_1(k) e^{-ik_3 x}$$

なお、 $A_1(s_1)$, $B_1(k)$ の式形は紙面の都合上、省略する。

iii) Branch line integral $\bar{H}(s)$ の複数形状が煩雑なため CUT に沿って積分を厳密に行うことは困難であるゆえ、Ewing らと同様、 x の大きな方における近似式を用いれば結局、次式がえられる。

$$\int_{s_1} = C_1(x k_1)^{\frac{1}{2}} e^{-ik_1 x}, \int_{s_2} = D_1(x k_2)^{\frac{1}{2}} e^{-ik_2 x} \quad (17)$$

$$z = kx \quad C_1 = \frac{g}{6(1-\mu_1)} \sqrt{2\pi i} \frac{r^2 e^{-i\frac{\pi}{4}}}{(2r^2 - 1)^2}$$

$$D_1 = \frac{6(1-\mu_1)}{g} 4\sqrt{2\pi i} \frac{(1-r^2)^{\frac{1}{2}} e^{-i\frac{\pi}{4}}}{\left\{ (1-r^2)^{\frac{1}{2}} E^3 - 6 \frac{r^2}{g} (1-\mu_1)(1-r^2)^{\frac{1}{2}} E - 6 \frac{1-\mu_1}{g} \right\}^2}$$

以上、式(14), (15), (16) および (17) により板のたわみの伝播機構は次式にて表わされる。

$$\begin{aligned} \bar{u}_p &= u_p e^{i\omega t} = - \frac{P \cdot H^3}{N} i B_1 \exp(i\omega(t - \frac{k}{\beta}x)) \\ &\quad - \frac{P \cdot H^3}{N} i e^{-ik_2 x} [A_1 \exp(i\omega(t + \frac{k}{\beta}x)) - \bar{A}_1 \exp(i\omega(t - \frac{k}{\beta}x))] \\ &\quad + \frac{P \cdot H^3}{2\pi N} [C_1(x k_1)^{\frac{1}{2}} \exp(i\omega(t - \frac{x}{2})) + D_1(x k_2)^{\frac{1}{2}} \exp(i\omega(t - \frac{x}{2})]] \end{aligned} \quad (18)$$

式(18)の第1項は Rayleigh 波に相当するもので、 x に無関係な一定の振巾を有し、かつ表-1 に示す β と k に対して β/k の速さで荷重奥から直せり、2 伝播する表面波を表わし、第2項は x が増大するにつれて指数函数的に減少する振巾をもつ、かつ互に反対方向に同一の速度 β/ϵ で伝播する、(1) ゆえ定在波を表わしている。第3項は半無限弾性体において 3 種波と横波の伝播速度の ω および等しい伝播速度をもつ体波を表わしており、 x の大きい所ではそれを $(x k_1)^{\frac{1}{2}}$ および $(x k_2)^{\frac{1}{2}}$ の割合で減少する振巾を有して $x = 0$ などが明白となる。

(参考文献)

- 1) Reissner; "Stationäre axialsymmetrische, durch eine schüttelnde Masse erregte Schwingungen eines homogenen elastischen (Halbraumes)", Ingenieur-Archiv, 7, 1926
- 2) I. Taniuti; "Vibration in Foundation of Machines", Technical Report of Osaka University, 5, No 146
- 3) R.N. Arnold, G.N. Bergman and G.W. Warburton; "Forced Vibration of a Body on an Infinite Elastic Solid", J. Appl. Mech., 22, No. 3, Sep., 1955
- 4) 例1は"後藤尚男, 松吉重; "弹性地盤中の基礎構造物の地震応答特性", 土木学会論文報告集, No 117, 1970.5 1904"
- 5) H. Lamb; "On the propagation of Tremors over the Surface of an Elastic Solid"; Phil. Trans. Roy. Soc. A. vol 203, 63 131~172
- 6) D.C. Jackson; "Transient Excitation of an Elastic Half Space by a Point Load Traveling on the Surface", J. Appl. Mech., Sep. 1969
- 7) W.M. Ewing, W.S. Jardetzky and F. Press; "Elastic Waves in Layered Media" Mc.Graw-Hill Book Co., 1957

表-1

ξ	$\xi + i\eta$	$\xi - \bar{\xi}_1$	$\xi - \xi_2$
0.1	4.4935	-2.8929	1.0545
0.2	2.1761	-3.9871	1.0949
0.3	1.3808	-2.7094	1.1249
0.4	0.9756	-2.0705	1.1362
0.5	0.7338	-1.7321	1.1278
0.6	0.5767	-1.4975	1.1050
0.7	0.4682	-1.3360	1.0745
0.8	0.3895	-1.2140	1.0411
0.9	0.3301	-1.1119	1.0075
1.0	0.2839	-1.0428	0.9751